

แบบจำลองทางคณิตศาสตร์อุปกรณ์เทอร์โมอิเล็กทริกโดยการเผาไหม้เชื้อเพลิงแก๊ส ในวัสดุพูรุชนิดสลับทิศทางการไหลอย่างเป็นจังหวะ

Numerical Simulation of Thermo-electric Conversion by Cyclic Flow Reversal Combustion in a Porous Medium

บันดิต กฤษตาม และ สำราิง จักรใจ
ห้องปฏิบัติการวิจัยเครื่องยนต์และการเผาไหม้
ภาควิชาวิศวกรรมเครื่องกล คณะวิศวกรรมศาสตร์ มหาวิทยาลัยเทคโนโลยีพระจอมเกล้าธนบุรี
91 ถ.ประชาอุทิศ (สุขสวัสดิ์ 48) แขวงบางมด เขตทุ่งครุ กรุงเทพฯ 10140
โทร (662)470-9128 โทรสาร (662)470-9111 E-mail: sumrueng.jug@kmutt.ac.th

Bundit Krittacom and Sumrerng Jugjai
Combustion and Engine Research Laboratory (CERL)
Department of Mechanical Engineering, Faculty of Engineering, King Mongkut's University of Technology Thonburi.
91 Prachaouthit Road (Suksawad 48) Bangmod, Thung Kharu District, Bangkok 10140

บทคัดย่อ

อุปกรณ์เทอร์โมอิเล็กทริก (Thermo-electric Device) เป็นอุปกรณ์ผลิตกระแสไฟฟ้าโดยตรง (direct conversion) ชนิดหนึ่ง ซึ่งเป็นการนำเอาเปลี่ยนของสารกึ่งตัวนำต่างกันสองชนิดมาเข้ามารอต่อ กัน (Junction) เมื่อจุดเชื่อมทั้งสองข้างถูกกระตุ้นด้วยความร้อน (hot Junction) และความเย็น (cold Junction) จะเกิดกระแสไฟฟ้าขึ้นในระบบ พบว่าหากอุณหภูมิของจุดเชื่อมทั้งสองข้างมีค่าแตกต่างกันมากขึ้นเท่าไร อัตราการผลิตกระแสไฟฟ้าก็จะเพิ่มมากขึ้นตามไปด้วย อุปกรณ์เทอร์โมอิเล็กทริกโดยทั่วไปหากต้องการอุณหภูมิที่แตกต่างกันมากจะต้องให้พัฒนาความร้อนสูงแก่จุดเชื่อมร้อน และอาจมีการหล่อเย็นที่จุดเชื่อมเย็น ซึ่งเป็นเรื่องที่ซับซ้อน ยุ่งยาก และต้องใช้เชื้อเพลิงที่มีค่าความร้อนสูงเป็นข้อเสียที่ควรปรับปรุง ด้วยหลักการพื้นฐานนี้จึงได้มีแนวคิดใหม่เพื่อใช้ในการพัฒนาการผลิตกระแสไฟฟ้าจากอุปกรณ์เทอร์โมอิเล็กทริก โดยอาศัยเทคนิคการเผาไหม้เชื้อเพลิงแก๊สในวัสดุพูรุชน (porous Medium) ทันความร้อน ที่มีการสลับทิศทางการไหลของไอน้ำด้วยจังหวะระบบดังกล่าวจะมีข้อได้เปรียวกว่าระบบเดิมคือ สามารถเผาไหม้เชื้อเพลิงที่มีค่าความร้อนต่ำๆได้และให้อุณหภูมิที่สูง นอกจากนั้นถ้าจะนำโครงสร้างทางความร้อนที่สูงชัน (steep temperature gradient) ที่ปลายทั้งสองด้านของห้องเผาไหม้ก็หมายความว่าคุณลักษณะของอุปกรณ์เทอร์โมอิเล็กทริกที่ปลายด้านหนึ่งต้องเป็นจุดเชื่อมร้อน (hot Junction) และอีกด้านเป็นจุดเชื่อมเย็น (cold Junction) ซึ่งจะทำให้มีประสิทธิภาพการเปลี่ยนพลังงานที่สูงด้วย ในการศึกษานี้ได้ทำการจำลองทางคณิตศาสตร์โดยยังไม่พิจารณาการผลิตกระแสไฟฟ้า(วัสดุพูรุนไม่เป็น Porous Thermoelectric element, PTE) เพื่อนำผลไปเปรียบเทียบกับการทดลองและศึกษาอิทธิพลของตัวแปรต่างๆที่จะมีผลต่อการผลิตกระแสไฟฟ้า ได้แก่ เวลาที่ใช้ในการสลับทิศทางการไหลของไอน้ำด้วย

เป็นจังหวะความหนาของวัสดุพูรุน(t_{hp}) ค่า equivalence ratio(Φ) ความเร็วแก๊ส(u) และความหนาเชิงแสงของวัสดุพูรุน(T_e) พนวณเมื่อเพิ่มค่า Φ , u , และ T_e แนวโน้มของ Steep temperature gradient และอุณหภูมิสูงสุด(T_{max}) มีค่าสูงขึ้น ตัวน t_{hp} จะมีผลต่อระบบน้อยมาก แต่เป้าหมายของงานวิจัยนี้ต้องการประยุกต์ใช้กับเชื้อเพลิงแก๊สที่มีความร้อน(Φ)ต่ำ เพื่อจะได้ประยุกต์พลังงานดังนั้นหากต้องการกำลังไฟฟ้า(P)และประสิทธิภาพการเปลี่ยนพลังงาน(η)ที่สูง ควรเพิ่มค่า u และ T_e นอกจากนี้เมื่อเปรียบเทียบกับการทดลองจะให้ผลที่สอดคล้องกันเป็นอย่างดี

คำสำคัญ : อุปกรณ์เทอร์โมอิเล็กทริก/ การเผาไหม้/ วัสดุพูรุน

Abstract

An advanced concept to produce electric power has been present by using thermoelectric device that is joining the end of two difference type of semi-conductor(Junction). The electric power generate when couple junction are activated by high temperature(hot junction) and low temperature(cold junction), it revealed that if temperature difference (hot and cold junction) is high then power generation rate is also high. However, in general thermoelectric device maintaining the temperature at junction is complicate and must use high heating value of fuel when demand high difference temperature.

Since general thermoelectric device has some disadvantage, the new concept of thermoelectric device have been developed by using reciprocating gaseous combustion in porous medium.

The new concept has some attraction such as wide flammability limit, high steep temperature gradient, high maximum temperature, etc. From last two attraction are characteristic appropriate with thermoelectric device because another joint is hot junction and joint is cold junction, as a result that energy conversion efficiency is elevated. This research construct mathematical model that can be compared with experimental result. Furthermore, mathematical model will be used in parametric study to find optimum working condition for generating power. The steep temperature gradient and maximum temperature are increased with optical thickness(τ) equivalence ratio(Φ) and gas velocity (u). Effect of half period(t_{hp}) is negligible. To aim of this research is to apply with low heating value (Φ) which parametric can help to improve generating power (P) and conversion efficiency (η). The result of comparison between mathematical model and experimental show good agreement.

Keyword : Thermoelectric Device/ combustion/ porous

1.NOMENCLATURE

A	= frequency factor for reaction kinetics	[s ⁻¹]
C _p	= specific heat at constant pressure	[kJ/kgK]
D	= diffusivity	[m ² /s]
E	= activation energy	[kJ/kmol]
E _n	= exponential integral functions of n-th order	
h ₀	= combustion heat	[kJ/kg]
h _p	= heat transfer coefficient around a particle	[W/m ² K]
I _b	= blackbody radiation intensity	[W/m ²]
I ₀ , I _o	= incident radiation intensity [W/m ²]	
j	= current density	[A/m ²]
m	= electric resistance ratio (R/r)	
n _p	= number density of particle	[m ⁻³]
P	= electric power	[W/m ³]
q'	= radiation flux	[W/m ²]
R	= external specific electric resistance	[Ωm]
RR	= reaction rate	
Re	= Reynolds number	
r	= internal specific electric resistance	[Ωm]
T	= temperature	[K]
T _{hs}	= temperature at hot junction	[K]
T _{cs}	= temperature at cold junction	[K]
t _{hp}	= half cycle	[s]
u	= gas velocity	[m/s]
W	= reaction rate	[kg/m ³ s]

x	= coordinate	[m]
x _e	= length of thermoelectric device	[m]
Y	= product mole fraction	

Greek Symbols

α	= Seebeck coefficient	[V/K]
η	= conversion efficiency	
K	= absorption coefficient	[m ⁻¹]
λ	= (gas) thermal conductivity	[W/mK]
μ	= (gas) viscosity	[kg/mK]
ρ	= (gas) density	[kg/m ³]
σ	= stefan-boltzmann constant	[W/m ² K]
Φ	= equivalence ratio	
τ	= optical thickness = Kx	
τ'	= dummy variable of integration	

Subscripts

c	= cold junction
e	= exit
H	= hot junction
max	= maximum
o	= initial state, inlet
p	= particle
s	= porous medium

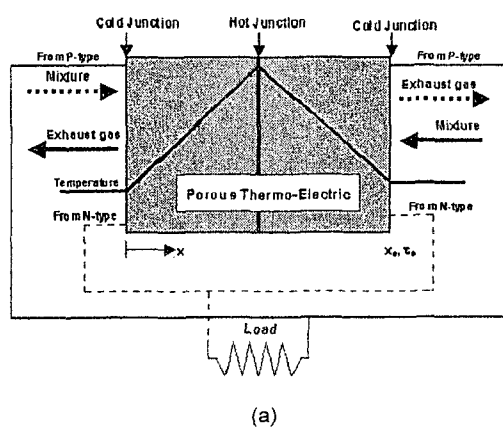
2.บทนำ

การเผาไหม้เชื้อเพลิงแกสในวัสดุพูน(Porous medium) ทันความร้อน ที่มีการสับเปลี่ยนกิจกรรมการไหลงของไอเดียอย่างเป็นจังหวะนั้น[1,2,3] เป็นเทคนิคที่มีประสิทธิภาพการเผาไหม้สูงและส่งเสริมการประยัด พลังงาน อาศัยหลักการหมุนเวียนความร้อนโดยการนำความร้อนจาก ไอเสียมาสู่ไอเดีย เพื่อเข้าสู่ระบบการเผาไหม้ กล่าวคือ เมื่อไอเดียไหลงเข้าสู่ระบบ(จังหวะไหลงจากชั้นไปข้างๆ) ด้วยลักษณะเด่นของวัสดุพูนคือ การเผาไหม้แบบนี้จะเป็นแบบสองสถานะ(multiphase) ประกอบด้วย สถานะของแข็ง(Solid phase) คือวัสดุพูนและสถานะแกส(Gas phase) ซึ่งวัสดุพูนมีอัตราส่วนเพื่อที่ผิวด้วยปริมาตรสูง มีค่าการแผรรังสี และคุณลักษณะรังสีความร้อน(Emissivity and absorptivity)ที่สูงกว่าสถานะแกสมาก ทำให้เกิดปฏิกิริยาทางเคมี(Chemical reaction) และการถ่ายเทความร้อน(Heat transfer) ได้สูงกว่าการเผาไหม้ในสถานะแกสทั่วไป ซึ่งอุณหภูมิไอเสียด้านข้างออก(Downstream)ก็มีค่าสูงด้วย ดังนั้นเมื่อมีการสับเปลี่ยนกิจกรรมการไหลง(จังหวะไหลงจากชั้นไปข้างๆ) ไอเดียเข้ามายังไอเดียจะรับความร้อนจากวัสดุพูนที่กักเก็บไว้ในจังหวะที่แล้ว (Downsteam) จากจังหวะการไหลงไอเดียที่แล้วจะเป็น Upstream ของการไหลงจังหวะใหม่ ที่มีการสับเปลี่ยนกิจกรรม ไอเดียจะถูก Preheat ให้มีอุณหภูมิสูงขึ้น ทำให้มีอุณหภูมิไอเสียเพลิงแกสในวัสดุพูนที่มีการสับเปลี่ยนกิจกรรมการไหลงของไอเดียอย่าง

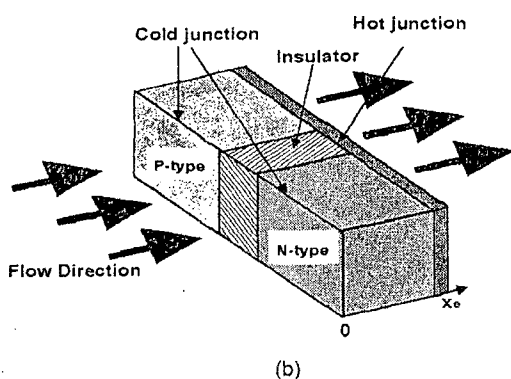
เป็นจังหวะต้องการอุณหภูมิสูงสุด(T_{max})เท่ากับทางทฤษฎี(ไม่มีวัสดุพรุน) ก็ทำได้โดยการลดค่าความร้อนเชือเพลิง(Φ)ที่เข้าสู่ระบบ ซึ่งจะนำไปสู่การเผาไหม้เชือเพลิงที่มีค่าความร้อนต่ำและประหยัดเชือเพลิงอีกด้วย

จากเหตุผลดังกล่าวได้ประยุกต์การเผาไหม้เชือเพลิงแกสในวัสดุพรุนที่มีการสัมบบิศทางการไหลของไอเดียอย่างเป็นจังหวะใช้กับการผลิตกระแสไฟฟ้าโดยตรง(Direct conversion)[4,5] พิจารณาให้วัสดุพรุนเป็นอุปกรณ์เปลี่ยนพลังงานความร้อนเป็นพลังงานไฟฟ้า เรียกว่า อุปกรณ์เทอร์โมอิเล็กทริก(Thermo electric device)[6] ซึ่งจะทำการศึกษาเพื่อเพิ่มประสิทธิภาพการเปลี่ยนพลังงาน(Conversion efficiency, η) การศึกษาจะทำโดยจำลองเดาเผาไหม้ให้อยู่ในรูปแบบจำลองทางคณิตศาสตร์แล้วแก้สมการคณิตศาสตร์เพื่อหาโครงสร้างทางความร้อนของระบบ เช่น อุณหภูมิแกส อัตราการเกิดปฏิกิริยา เป็นต้น เพื่อนำไปหาอิทธิพลของตัวแปรต่างๆที่มีผลต่อการผลิตกระแสไฟฟ้า และ η อันจะเป็นประโยชน์ต่อการกำหนดสภาพการทำงานที่เหมาะสมเพื่อการออกแบบและสร้างใช้งานจริงต่อไป

3.แบบจำลองทางคณิตศาสตร์



(a)



(b)

รูปที่ 1 (a) แบบจำลองทางคณิตศาสตร์ (b) Porous Thermoelectric element(PTE)

รูปที่ 1a แสดงแบบเดาเผาไหม้ภายในบรรจุสัตพหุนซึ่งจะทำหน้าที่เป็นอุปกรณ์เทอร์โมอิเล็กทริกพิจารณาเป็นอิเลเมนต์เดียว(รูป 1b) ต่อ กันแบบอนุกรมอยู่เป็นจำนวนมาก many และมีภาระทางไฟฟ้า(Load) มา รับแรงเคลื่อนทางไฟฟ้าอยู่ภายหลังห้องเผาไหม้ การทำงานของระบบ คือ เมื่อไถดี(อากาศ+LPG) ไหลผ่านเข้ามาในห้องเผาไหม้ที่มีความเย็น Xe และมีความหนาเชิงแสง Te โดยการไหลของไถดีจะถูกสัมบบิศทาง การไหลอย่างเป็นจังหวะพร้อมกับเกิดการเผาไหม้ที่บริเวณกลางของวัสดุพรุน พนวณเรื่องดังกล่าวจะเป็นจังหวะพร้อมกับการเผาไหม้ที่บริเวณกลางของวัสดุพรุน มีอุณหภูมิสูงขึ้นและเป็น ตำแหน่งอุณหภูมิสูงสุดด้วย จึงกำหนดให้บริเวณตรงกลางของห้องเผาไหม้เป็นจุดเครื่องร้อน(Hot junction) และด้านขอบทั้ง 2 ด้านเป็นจุด เครื่องเย็น(Cold junction) ซึ่งลักษณะโครงสร้างทางความร้อนและกลไก การทำงานของเดาเผาไหม้แบบนี้จะส่งเสริมประสิทธิภาพการเปลี่ยน พลังงาน(Conversion efficiency)ให้ดียิ่งขึ้น

สมมติฐานหลักของแบบจำลองนี้มีดังนี้

- พิจารณาการไหลและการแรร์สีเป็นแบบ 1 มิติ มีทิศทางตามแนวแกน x การไหลเป็นแบบ incompressible และ ความดันคงที่
- ไม่มีคิดการแรร์สีความร้อนของแกสเนื่องจากมีค่าน้อยมาก เมื่อเทียบกับของแข็ง
- ปฏิกิริยาการเผาไหม้เป็นแบบ one-step first order reaction (Reactant \rightarrow Product+heat) แบบ Arrhenius
- วัสดุพรุนทำหน้าที่เป็นอุปกรณ์เทอร์โมอิเล็กทริก เรียกว่า Porous Thermo Electric(PTE) และอิเลเมนต์เด็กๆต่อ กันแบบอนุกรมเพื่อให้ได้แรงตันสูงๆ
- คุณสมบัติทางฟิสิกส์อื่นๆมีค่าคงที่

4.สมการที่ใช้ในการคำนวณ

จากสมมติฐานหลัก การเผาไหม้เป็น One-step first order reaction แบบ Arrhenius ดังนั้นจะมีสมการ Species conservation และสมการสมดุลพลังงาน(Energy equation)ของทั้งแกสและของแข็ง(วัสดุพรุน) ในการคำนวณหาค่าตอบ ดังแสดงต่อไปนี้

Species equation

$$\rho \frac{\partial Y}{\partial t} + \rho u \frac{\partial Y}{\partial x} = D \rho \frac{\partial^2 Y}{\partial x^2} + W \quad (1)$$

$$W = A \rho (1 - Y) \exp(-E/RT) \quad (2)$$

Gas phase energy equation

$$\rho C_p \frac{\partial T}{\partial t} + \rho C_p u \frac{\partial T}{\partial x} = \lambda \frac{\partial^2 T}{\partial x^2} - h_p n_p A_p (T - T_s) + h_o W \quad (3)$$

Solid phase energy equation

$$\rho_s C_{ps} \frac{\partial T_s}{\partial t} = \lambda_s \frac{\partial^2 T_s}{\partial x^2} - \frac{\partial q'}{\partial x} + h_p n_p A_p (T - T_s) + j^2 r \quad (4)$$

เทอมสุดท้าย j^2r หรือ Joule heat ซึ่งเป็นพลังงานความร้อนในรูปเชิงไฟฟ้าที่เกิดใน Porous thermoelectric element

Divergence of net radiative heat flux

$$\frac{\partial q'(\tau)}{\partial x} = -2\pi K \left[I_0 E_2(\tau) + I_e E_2(\tau_e - \tau) - 2I_b(\tau) + \int_0^{\tau_e} I_b(\tau') E_1(|\tau - \tau'|) d\tau' \right] \quad (5)$$

$$I_e(\tau) = \frac{\sigma T_s^4(\tau)}{\pi} \quad (6)$$

$$E(\tau) = \int_0^1 \mu^{n-2} \exp\left(-\frac{\tau}{\mu}\right) d\mu \quad (7)$$

เมื่อพิจารณาการผลิตกระแสไฟฟ้า [3,4,5] โดยทั่วไปจะได้จากการคำนวณ

$$j = \frac{\alpha(T_{HS} - T_{CS})}{rx_e(1+m)} \quad (8)$$

$$P = j^2 R = \frac{m\alpha^2 \sigma}{r(1+m)} \cdot (T_{HS} - T_{CS}) \cdot \frac{(T_{HS} - T_{CS})}{x_e} \quad (9)$$

$$\eta = \frac{P}{h_0 W x_e} \quad (10)$$

5. Boundary condition และ Initial condition

5.1 Boundary condition

ทำการวินิจกรรมสมการที่ 4 และพิจารณาการแลกเปลี่ยนความร้อนที่ต่ำแห่งจุดเชื่อม(Junction)ร่วมด้วย ซึ่งความร้อนที่กระทำกับจุดเชื่อมนี้เรียกว่า Peltier heat [5] จะได้

ที่ต่ำแห่ง Cold Junction ($X = 0, X_e$)

$$\rho_s C_{PS} \int \frac{\partial T_s}{\partial t} dx = \lambda_s \int \frac{\partial T^2}{\partial x^2} dx - \int \frac{\partial q'}{\partial x} dx + h_p n_p A_p \int (T - T_s) + j_r \int dx + j\alpha T_{CS} \quad (11)$$

ที่ต่ำแห่ง Hot Junction ($X = X_e/2$)

$$\rho_s C_{PS} \int \frac{\partial T_s}{\partial t} dx = \lambda_s \int \frac{\partial T^2}{\partial x^2} dx - \int \frac{\partial q'}{\partial x} dx + h_p n_p A_p \int (T - T_s) + j^2 r \int dx - j\alpha T_{HS} \quad (12)$$

5.2 Initial condition

ใช้ผลการทดลองที่ได้จากการเผาไหม้มักรถยังไม่ส่อปกรณ์เทอร์โมอิเล็กทริก เป็นเงื่อนไขเริ่มต้นในการคำนวณหาค่าตอบ

6. วิธีการคำนวณ

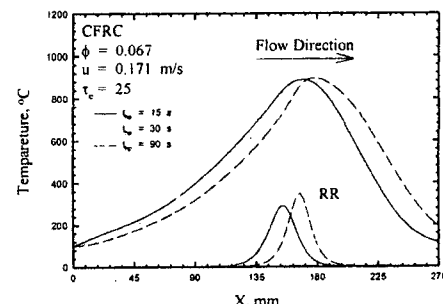
สมการข้างต้นจะถูกเปลี่ยนให้อยู่ในรูปสมการไร้หน่วยและจัดให้อยู่ในรูปสมการ Finite difference แล้วแก้สมการโดยใช้วิธี Implicit finite difference เพื่อหาค่าตอบของการกระจายอุณหภูมิของแกส อุณหภูมิของเรือง สัดส่วนโมลของผลิตภัณฑ์(Product mole fraction, Y) อุณหภูมิสูงสุด

การคำนวณจะแบ่งระยะทางออกเป็น 100 meshes ในช่วงของวัสดุพุ่น การคำนวณเพื่อหาค่าตอบในแต่ละช่วง(time step) จะใช้วิธีการคำนวณขั้น (iteration procedure) จนกระทั่งผลลัพธ์ที่คำนวณได้ถูกเข้าหาค่าตอบโดยมี Convergence criterion = 10^{-6} และ Steady state criterion = 10^{-5} (โครงสร้างทางความร้อนที่ได้จากคำนวณที่เวลาสุดท้ายของไซเคิลก่อนหน้าเบรี่ยนเทียบกับโครงสร้างทางความร้อนที่ได้จากคำนวณที่เวลาสุดท้ายของไซเคิลปัจจุบันในทิศทางการไหลเดียวกันโดยมีความแตกต่างน้อยกว่า 10^{-4} ในทุก node point และจะเป็นการเสร็จสิ้นการคำนวณและได้ค่าตอบ) หลังจากนั้นตรวจสอบความถูกต้องของผลที่ได้จากแบบจำลองทางคณิตศาสตร์ โดยการทำ Global energy balance และ local energy balance ซึ่งค่าความคลาดเคลื่อนจากการคำนวณ Global energy balance อยู่ในช่วง 0.2-0.5 %

7. ผลและวิจารณ์

ในการคำนวณแบบจำลองทางคณิตศาสตร์ ได้ทำการศึกษาอิทธิพลของตัวแปรต่างๆ ควบคู่กับการทดลองโปรแกรมโดยการเบรี่ยนเทียบกับการทดลองที่หาได้ โดยเมื่องดันนี้ยังไม่มีการผลิตกระแสไฟฟ้ากล่าวคือยังไม่ได้พิจารณาให้วัสดุพุ่นเป็น PTE ดังแสดงดังต่อไปนี้

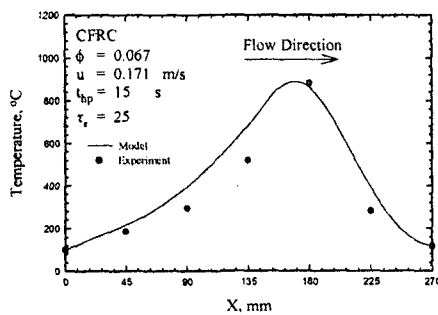
7.1 อิทธิพลของค่าช่วงเวลาสั้นทิศทางการไหลของไออดี (t_{hp})



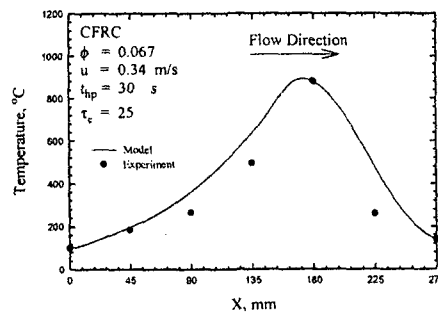
รูปที่ 2 อิทธิพลของ t_{hp} ต่อโครงสร้างทางความร้อน

รูปที่ 2 แสดงอิทธิพลของช่วงเวลาในการสั้นทิศทางการไหลของไออดี (t_{hp}) ที่มีผลต่อโครงสร้างทางความร้อนที่ท้าย half period ได้แก่ โครงสร้างอุณหภูมิ (T) อัตราการเกิดปฏิกิริยา (RR) ที่สภาวะ $\Phi = 0.067$ $\tau_e = 25$ และ $n = 0.171$ m/s พนวณโครงสร้างทางอุณหภูมิจะมี

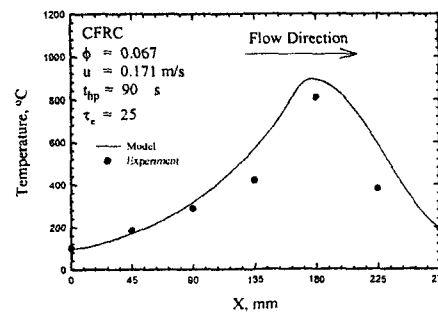
รูปที่ 3 เป็นรูปสามเหลี่ยม ทุกค่า t_{hp} เมื่อเพิ่มค่า t_{hp} ขึ้น โครงสร้างอุณหภูมิ RR จะเคลื่อนตัวลึกเข้าไปในวัสดุพูรุนมากขึ้น T_{max} ก็เลื่อนตำแหน่งตามไปด้วยและมีค่าใกล้เคียงกันไม่ค่อยเปลี่ยนแปลง แต่ อุณหภูมิที่ด้านข้างออก (Downstream) จะมีค่าสูงขึ้นซึ่งโครงสร้างทางความร้อนที่เป็นแบบนี้ เนื่องมาจากเมื่อ t_{hp} มีค่าเพิ่มขึ้นจะทำให้ Flame มีเวลาเคลื่อนตัวเข้าไปในวัสดุพูรุนมาก และค่าการสูญเสียความร้อนที่มากจากการแผ่ร้อนไปทาง Upstreamลดลง ทำให้บริเวณ Downstream เพิ่มขึ้นเพื่อที่จะรักษาเดียรภาพของโครงสร้างทางความร้อน จะเห็นได้ว่า T_{max} และ Temperature gradient ไม่ค่อยเปลี่ยนแปลง ดังนั้น คาดว่า t_{hp} จึงมีผลต่อการผลิตกระแสไฟฟ้าน้อย



(a)



(b)

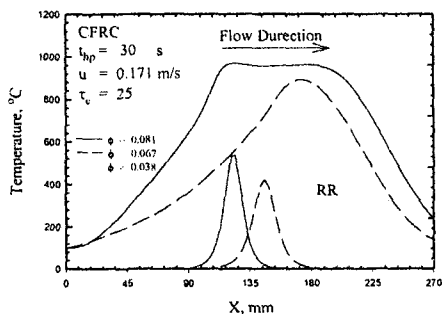


(c)

รูปที่ 3 เมื่อยกเทียบอิทธิพลของ t_{hp} ระหว่างผลการทดลองกับแบบจำลองทางคณิตศาสตร์ (a) 15 s (b) 30 s (c) 90 s

รูปที่ 3 แสดงการเปรียบเทียบระหว่างแบบจำลองทางคณิตศาสตร์ กับผลการทดลอง จะพบว่าผลที่ได้ทั้ง 3 กรณีจะให้แนวโน้มที่สอดคล้องกัน แต่ผลการคำนวณทางทฤษฎีมีค่าสูงกว่าการทดลองเนื่องจากในแบบจำลองทางคณิตศาสตร์ระบบเป็นแบบ Adiabatic แต่ในการทดลอง มีการสูญเสียความร้อนเนื่องมาจาก การนำ การพา และการแผ่ร้อนต่อกัน ความร้อน

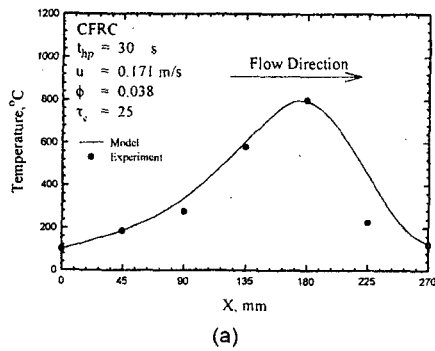
7.2 อิทธิพลค่า Equivalence ratio (Φ)



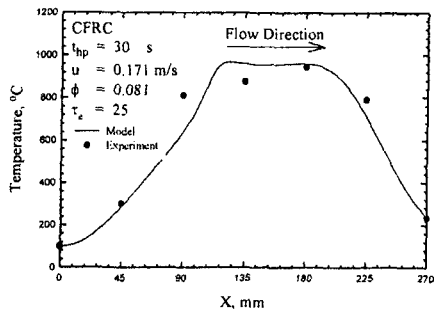
รูปที่ 4 อิทธิพลของค่า Equivalence ratio (Φ) ที่มีต่อโครงสร้างทางความร้อน

รูปที่ 4 แสดงอิทธิพลของค่า Equivalence ratio (Φ) ที่มีผลต่อ โครงสร้างทางความร้อนได้แก่โครงสร้างอุณหภูมิ (T) ยังการเกิดปฏิกิริยา (RR) ที่สภาวะ $t_{hp} = 30$ s $\tau_e = 25$ และ $u = 0.171$ m/s พบ ว่าเมื่อค่า Φ ลดลงลักษณะโครงสร้างทางอุณหภูมิจะเปลี่ยนจากสีเหลืองของหูมี Temperature Gradient สูงชันลดลงเป็นรูปสามเหลี่ยม และมี T_{max} ลดลงออกจาก RR ก็มีค่าลดลงไปด้วยโครงสร้างทางความร้อนที่เป็นลักษณะแบบนี้เนื่องจากค่า Φ มีค่าน้อย จึงปล่อยพลังงานความร้อน ที่อยู่ในเชื้อเพลิงน้อยเมื่อเกิดการเผาไหม้ ดังนั้นอัตราการเกิดปฏิกิริยาจึงต่ำ ทำให้ตำแหน่งของ Flame เกิดลึกเข้าไปในตัววัสดุพูรุน และโครงสร้างอุณหภูมิจะค่อยๆ แคบลงส่งผลให้ temperature gradient มีค่าลดลง ซึ่งจะเป็นการลดการสูญเสียความร้อนที่ด้าน Upstream และ Downstream เพื่อให้โครงสร้างความร้อนของระบบเสถียร จะเห็นได้ว่าการเพิ่มค่า Φ จะมีผลต่อการเพิ่มค่า T_{max} และ temperature gradient อย่างมาก อันจะเป็นผลต่อการผลิตกระแสไฟฟ้าต่อไป

รูปที่ 5 แสดงการเปรียบเทียบอิทธิพลของ Φ ระหว่างแบบจำลองทางคณิตศาสตร์กับผลการทดลอง จะพบว่าผลที่ได้ทั้ง 2 กรณี ให้แนวโน้มที่สอดคล้องกัน แต่ผลการคำนวณทางทฤษฎีมีค่าสูงกว่าการทดลอง ดังแสดงเหตุผลในรูปที่ 3 (แบบจำลองทางคณิตศาสตร์เป็นแบบ Adiabatic การทดลองมีการสูญเสียความร้อน)



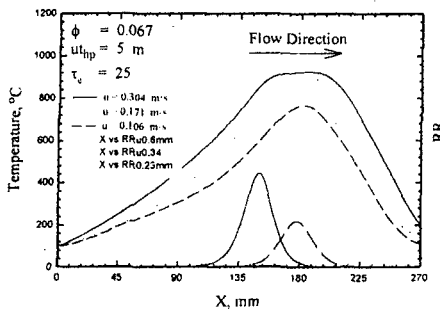
(a)



(b)

รูปที่ 5 เปรียบเทียบอิทธิพลของ Φ ระหว่างผลการทดลองกับแบบจำลองทางคณิตศาสตร์ (a) $\Phi = 0.081$ (b) $\Phi = 0.038$

7.3 อิทธิพลค่า Gas Velocity (u)

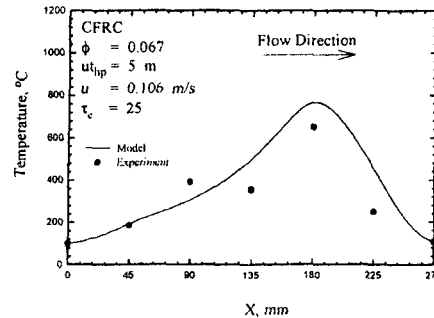


รูปที่ 6 อิทธิพลของค่า Gas Velocity (u) ที่มีต่อโครงสร้างทางความร้อน

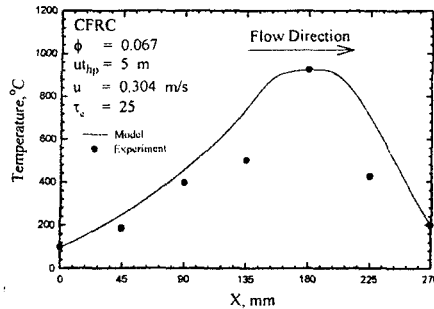
รูปที่ 6 แสดงอิทธิพลของค่า Velocity (u) ที่มีผลต่อโครงสร้างทางความร้อน ได้แก่ โครงสร้างอุณหภูมิ (T) อัตราการเกิดปฏิกิริยา (RR) ที่สภาวะ $\Phi = 0.067$ $\tau_e = 25$ และกำหนดให้ $u_{t_hp} = 5$ m พบร่วมเมื่อเพิ่มค่า u ลักษณะโครงสร้างทางอุณหภูมิจะมีแนวโน้มเป็นรูปสี่เหลี่ยมคงที่มูดตันชัดขึ้น temperature gradient และ T_{max} ก็สูงขึ้น ส่วน RR เคลื่อนตัวเข้าในสัดพูรุณและมีค่าเพิ่มขึ้นตาม T_{max} ลักษณะโครงสร้างทางความร้อนที่เป็นเช่นนี้ เพราะ u ก็คือค่า heat supply ดังนั้นมีเพิ่มค่า u ทำให้ heat supply เข้าสู่ระบบมากขึ้นส่งผลให้การเผาไหม้สมบูรณ์ยิ่งขึ้น จะเห็นได้ว่าการเพิ่มค่า u จะมีผลต่อการเพิ่ม T_{max} และ

temperature gradient อีกอย่างมาก อันจะเป็นประโยชน์ต่อการผลิตกระเบนไฟฟ้าต่อไป

รูปที่ 7 แสดงการเปรียบเทียบอิทธิพลของ u ระหว่างแบบจำลองทางคณิตศาสตร์กับผลการทดลอง จะพบว่าผลที่ได้ก็ 2 กรณี ให้แนวโน้มที่สอดคล้องกัน แต่ผลการคำนวณทางทฤษฎีมีค่าสูงกว่าการทดลอง ดังแสดงเหตุผลในรูปที่ 3 (แบบจำลองทางคณิตศาสตร์เป็นแบบ Adiabatic การทดลองมีการสูญเสียความร้อน) ผิวน้ำทำการทดลองจะพบว่าที่ u สูงๆ(รูปที่ 7b) ลักษณะโครงสร้างอุณหภูมิจะคล้ายกับแบบจำลองทางคณิตศาสตร์ เพราะในการทดลองจะไม่เห็นเป็นสีเหลือง ความหมุนเวียนชัด เนื่องจากในการทดลองตำแหน่งวัดอุณหภูมิห่างกันไป



(a)



(b)

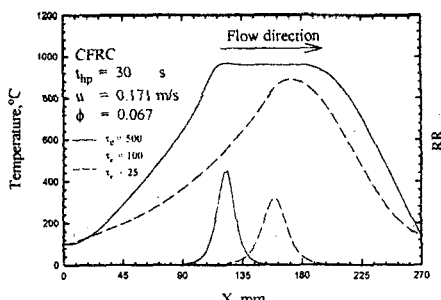
รูปที่ 7 เปรียบเทียบอิทธิพลของ Velocity (u) ระหว่างผลการทดลองกับแบบจำลองทางคณิตศาสตร์ (a) $u = 0.304$ m/s (b) $u = 0.106$ m/s

ซึ่งหากวัดด้วยระยะที่ถูกว่าจะเห็นค่าอุณหภูมิอื่นๆ ที่จะแสดงโครงสร้างทางความร้อนเป็นสีเหลืองคงที่มากกว่าเดิม แต่ถึงอย่างไรก็ตาม อุณหภูมิ u ตำแหน่งที่วัดได้มีค่าและแนวโน้มใกล้เคียงกันเป็นอย่างดี

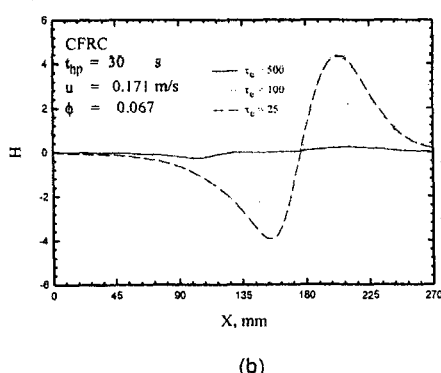
7.4 อิทธิพลของค่าความหนาเชิงแสง (τ_e)

รูปที่ 8a แสดงอิทธิพลของค่าความหนาเชิงแสง (τ_e) ที่มีผลต่อโครงสร้างทางความร้อนได้แก่ โครงสร้างอุณหภูมิ(T , T_{max}) อัตราการเกิดปฏิกิริยา (RR) ที่สภาวะ $\Phi = 0.067$ $t_{hp} = 30$ s และ $u = 0.171$ m/s ใน การเปลี่ยนแปลงค่า τ_e จะเปลี่ยนแปลงค่า Absorption Coefficient(K) .ให้ความยาวเตาคงที่(X_e)คงที่ พบร่วมเมื่อ τ_e มีค่าเพิ่มขึ้น ลักษณะโครงสร้างอุณหภูมิจะเปลี่ยนไปคือ ที่ τ_e ต่ำๆจะมีรูปร่างเป็นสามเหลี่ยม เมื่อเพิ่ม τ_e สูงขึ้นจะค่อยๆเปลี่ยนรูปร่างเป็นสี่เหลี่ยม

คงทุม โดย Temperature gradient หั้งด้าน Upstream และ Downstream จะสูงขึ้นตาม T_{\max} ที่เพิ่มขึ้น ซึ่งโครงสร้างทางความร้อนที่เกิดขึ้นแบบนี้เนื่องมาจาก เมื่อ τ_e มีค่ามากจะมีคุณสมบัติในการกันรังสีความร้อนให้อยู่ภายในตัววัสดุพูรุนได้มากกว่า τ_e มีค่าน้อย ดังนั้นความเข้มในการแผรังสีไปยังบริเวณใกล้เคียงจึงมีค่าสูงมากตลอดเนื้อวัสดุพูรุนที่ τ_e มีค่าสูงๆ(ดูรูปที่ 8b ประกอบ)ส่งผลให้อุณหภูมิสูงขึ้นด้วย แต่มี τ_e มีค่าน้อยระบบจะพยายามลดการสูญเสียความร้อนเนื่องมาจากการแผรังสีบริเวณ Upstream และ Downstream ให้มีค่าน้อยๆเพื่อให้โครงสร้างทางความร้อนของระบบเสถียร โดยเปลวไฟจะต้องขยับมาอยู่บริเวณกลางเตามากขึ้น



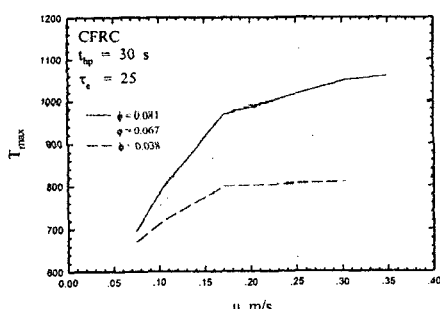
(a)



(b)

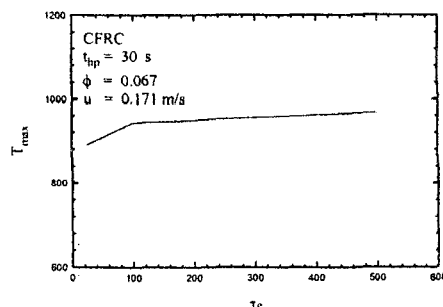
รูปที่ 8 อิทธิพลของค่าความหนาเชิงแสง (Optical thickness, τ_e) ที่มีต่อโครงสร้างทางความร้อน(а)โครงสร้างอุณหภูมิและ RR (б) Heat flux

7.5 อิทธิพลตัวแปรต่างๆที่มีต่อ T_{\max}



รูปที่ 9 อิทธิพลของค่า Φ ที่มีผลต่ออุณหภูมิสูงสุด(T_{\max})

รูปที่ 9 แสดงอิทธิพลของค่า Φ ที่มีผลต่ออุณหภูมิสูงสุด ที่สภาวะ $t_{hp} = 30$ s และ $\tau_e = 25$ หากพิจารณาที่ $\Phi = 0.038$ จะได้ว่า เมื่อ Φ เพิ่มขึ้นแนวโน้มของ T_{\max} จะเพิ่มขึ้นตามไปด้วย แต่เมื่อถึง $\Phi = 0.171$ m/s T_{\max} จะไม่ค่อยเพิ่มขึ้นมากนัก และเมื่อพิจารณาที่ Φ ที่สูงขึ้นพบว่าถึงเพิ่มขึ้นไปเท่าไร T_{\max} ก็ยังสูงขึ้นด้วย เนื่องจากระบบได้รับพลังงานความร้อนที่สูงจากอิทธิพลของ Φ และได้รับ Heat Supply จากอิทธิพลของ Φ ช่วยส่งเสริมกัน ทำให้การเผาไหม้สมบูรณ์ยิ่งขึ้น ส่งผลให้ T_{\max} สูงตามไปด้วยนั้นเอง



รูปที่ 10 อิทธิพลของค่า τ_e ที่มีผลต่ออุณหภูมิสูงสุด(T_{\max})

รูปที่ 10 แสดงอิทธิพลของค่า τ_e ที่มีผลต่ออุณหภูมิสูงสุด ที่สภาวะ $t_{hp} = 30$ s $\Phi = 0.067$ และ $u = 0.171$ m/s จะได้ว่าเมื่อเพิ่ม τ_e ขึ้นจะพิจารณาเป็น 2 ช่วง ช่วงแรกคือจาก $\tau_e = 25$ ถึง 100 พบร้า T_{\max} จะเพิ่มขึ้นตามอย่างมาก(ประมาณ 200 °C) แต่เมื่อเพิ่มค่า τ_e (ช่วงที่สอง) ต่อไป แนวโน้มของ T_{\max} เปลี่ยนแปลงน้อยมาก เนื่องจากไม่ว่าจะเพิ่มค่า τ_e ขึ้นอีกเท่าไหร่ อุณหภูมิสูงสุดก็ไม่สูงขึ้นนัก แสดงถึงค่าความหนาเชิงแสง(τ_e)ที่เหมาะสมมีค่าประมาณ 100

8. สรุปผลการทดลอง

ผลจากแบบจำลองทางคณิตศาสตร์ที่ทำการศึกษาการเผาไหม้เชื้อเพลิงแก๊สในวัสดุพูรุนนิดลับที่ศึกษาการไหลของไอดีอย่างเป็นจังหวะเพื่อใช้หาสภาวะที่เหมาะสมในการผลิตกระแสไฟฟ้านั้น จะมีข้อดีที่น่าสนใจคือ

- หากพิจารณาจากสมการ (9) พบว่าตัวแปรที่มีความสำคัญคือ T_{HS} ซึ่งหากทำให้ตำแหน่งของ Hot Junction เกิดขึ้นที่ T_{\max} จะทำให้การผลิตกระแสไฟฟ้าได้กำลังสูงสุด ดังนั้นจากการคำนวณ ตัวแปรที่มีอิทธิพลต่อ T_{\max} ได้แก่ τ_e , Φ และ u ส่วนค่า t_{hp} เปลี่ยนแปลงน้อยมาก

- ระบบการผลิตกระแสไฟฟ้าของแบบจำลองทางคณิตศาสตร์นี้ ต้องการประยุกต์ใช้กับเชื้อเพลิงแก๊สที่มีค่าความร้อน(Φ)ต่ำๆ ดังนั้นที่ Φ ต่ำๆหากจะทำให้มี P สูงๆควรจะพัฒนาระบบทดายการเพิ่ม u ดังแสดงที่ $\Phi = 0.067$, $u = 0.106$ m/s จะมี $T_{\max} = 768.5$ °C แต่เมื่อเพิ่ม $u = 0.171$ m/s จะได้ $T_{\max} = 896.2$ °C หรือทำการเพิ่มค่า τ_e (เบลี่ยนชนิดวัสดุพูรุน) ที่ $\tau_e = 25$, $u = 0.171$ จะมี $T_{\max} = 896.2$ °C แต่เมื่อเพิ่ม $\tau_e = 100$ จะได้ $T_{\max} = 950.4$ °C ดังนั้นแบบจำลองทาง

คณิตศาสตร์นี้ ตัวแปรที่เหมาะสมแก่การปรับปรุงเพื่อเพิ่มค่า P คือ n และ Te

3. การคำนวณที่ได้จากแบบจำลองทางคณิตศาสตร์มีความสอดคล้องกับการทดลองเป็นอย่างดี

ดังนั้นหากจะนำไปพัฒนาเพื่อวิเคราะห์กรณีที่มีภาวะทางไฟฟ้า (ผลิตกระแสไฟฟ้า) ต่อไป ก็จะเป็นประโยชน์ต่อการสภาวะที่เหมาะสมและประสิทธิภาพการผลิตที่ดีสุด ซึ่งจะได้พัฒนาต่อไปอีกในอนาคตอันใกล้

เอกสารอ้างอิง

- [1] Hoffmann, J.G., Echigo, R., Yoshida, H., and TADA, S. 1997, "Experimental Study on Combustion in Porous Media with a Reciprocating Flow System", The Collection Paper of Ryozo Echigo, Vol.2, 1-181, 1997
- [2] Hanamura, K., Echigo, R., and Zhdanok, S. 1993, "Superadiabatic combustion in porous medium", The Collection Papers of Ryozo Echigo, Vol. 2, 1-145, 1993
- [3] Hoffmann, J.G., Echigo, R., Yoshida, H., and TADA, S. 1997, "Analytical Study on Flammable Limits of Reciprocating Superadiabatic Combustion in Porous Media", The Collection Paper of Ryozo Echigo, Vol.2, 1-174, 1997
- [4] Echigo, R., Hanamura, K., Yoshida, H., Koda, M., and Tawata, K. 1992, "Simplified Thermoelectric Conversion Devices of Porous Materials by Superadiabatic Combustion of Reciprocating Flow and Advanced Power Generation System", The Collection Papers of Ryozo Echigo, Vol. 2, 1-139, 1992
- [5] Echigo, R., Tawata, K., Yoshida, H., and Tada, S. 1995, "Effective Heating/Cooling Method for Porous Thermoelectric Device in Reciprocating Flow Combustion System", The Collection Papers of Ryozo Echigo, Vol. 2, 1-159, 1995
- [6] Echigo, R., Hanamura, K., Yoshida, H., Koda, M., and Tawata, K. 1994, "An Advanced Thermoelectric Generation Concept base on Steep Temperature Gradient yielded by Combustion in Porous Thermoelectric Elements", The Collection Papers of Ryozo Echigo, Vol. 2, 1-151, 1994